

## احتساب الزامات سامانه انطباق عوارض زمینی در طراحی مسیر پروازی

### بهینه و مقید مبتنی بر TF/TA برای پهپادها

۳ محمدجواد بیزدان‌پناه<sup>۱</sup>

دانشکده مهندسی برق و کامپیوتر

دانشگاه تهران

(تاریخ دریافت: ۱۳۹۲/۹/۲۰؛ تاریخ پذیرش: ۱۳۹۳/۱/۲۶)

۲ رضا زردشتی<sup>۱</sup> و امیرعلی نیکخواه<sup>۲</sup>

دانشکده هواپیما

دانشگاه صنعتی خواجه نصیرالدین طوسی

**چکیده**

در این مقاله، به مسئله تاثیر الزامات سامانه انطباق عوارض زمینی در طراحی مسیر بهینه و مقید برای وسایل پرنده بدون سرنشین که ملزم به پرواز بر فراز عوارض زمینی‌تر ارتفاع پایین هستند پرداخته شده است. با توجه به اینکه در بعضی پرنده‌ها از سامانه مزبور به عنوان سامانه کمک ناوبری استفاده می‌شود، این سیستم در مناطق ناهموار کارایی بیشتری دارد و با توجه به اینکه الگوریتم‌های طراحی مسیر بهینه عموماً سعی در عبور مسیر از مناطق هموار و کم ارتفاع دارند، با این تناقض، تأمین الزامات این سیستم کار پیچیده‌ای است. در این مقاله سعی در ارائه مسیر بهینه و مقید با تضمین به کارگیری سامانه انطباق عوارض زمینی شده است. بدین منظور با توسعه الگوریتمی مبتنی بر شبکه جریان لایه‌ای روی داده‌های دیجیتالی عوارض زمینی و به کارگیری معادلات دینامیک سه‌بعدی پرنده در فضای گسته همراه با عامل قیود دینامیکیوتابع هزینه، مدل کامپیوتری پارامترهای تاثیرگذار سامانه مزبور در آن لحاظ شده است. الگوریتم حاصله با اعمال شرایط اولیه در کمترین زمان ممکن، مسیر بهینه و مقیدی تولید می‌کند که محدوده‌های مجاز پارامترهای تاثیرگذار سامانه مزبور در آن تأمین شده است. نتایج عددی شبیه‌سازی، صحت این مسئله را نشان می‌دهد.

**واژه‌های کلیدی:** طراحی مسیر بهینه و مقید، پهپاد، سامانه انطباق عوارض زمینی، شبکه جریان، دنبال روی عوارض / اجتناب از نواحی تهدید

### Considering Terrain Contour Matching System Requirements in the TF/TA Based Constraint Optimal Trajectory Design for UAVs

R. Zardashti and A.A. Nikkhah

Aerospace Engineering Department  
K.N. Toosi University of Technology

(Received: 11/December/2013; Accepted: 15/April/2014)

M.J. Yazdanpanah

Control Engineering Department  
Tehran University

### ABSTRACT

In this paper, the problem of the Terrain Contour Matching system requirement effect in the constraint optimal trajectory planning of the unmanned aerial vehicles that are required to fly at low altitude over the terrain has been discussed. According to using this system in some of vehicles as a navigation aiding system, it is more efficient in rough terrain and given that the optimal path planning methods have generally attempted to cross the paved areas, with this contradiction, providing the requirements of this system is a complex task. In this paper, it's tried to meet the system requirements in the constraint optimal trajectory design process. For this purpose, by developing an algorithm based on the layered network flow and applying dynamic equations of motion on digital terrain elevation data in the three-dimensional space with the discrete dynamical constraints and a cost function, a complete model of parameters affecting the system has been fulfilled. The resulting algorithm, by applying the initial conditions and in the least possible time, produces a constraint optimal trajectory in such a way that the requirements of the system are satisfied. Numerical results of simulation show validity of this issue.

**Keywords:** Trajectory Design, Unmanned Aerial Vehicle, Terrain Following/ Threat Avoidance, Terrain Contour Matching, Network Flow

۱- استادیار (نویسنده پاسخگو): rezardashiti@dena.kntu.ac.ir

۲- دانشیار: nikhhah@kntu.ac.ir

۳- استاد: yazdan@ut.ac.ir

## ۱- مقدمه

و کاربردی نمی باشند و عموماً در شبکه های پراکنده<sup>۳</sup> با تعداد عناصر محدود مانند حمل و نقل، تخصیص، ترافیک و... مورد استفاده قرار گرفته اند. فرمول بندی و حل چنین سیستمی به طور تحلیلی یا عددی با داشتن تعداد دلخواهی تهدید و محدودیت های چندگانه روی عواملی نظیر مصرف سوخت و زمان پرواز مشکل به نظر می رسد [۵]. در روش های مبتنی بر گراف نظیر روش های هندسی، ابتدا با در نظر گرفتن سینماتیک وسیله پرنده، گراف مشاهده پذیری ساخته شده و سپس الگوریتم دایجسترا برای جستجوی کوتاه ترین مسیر از هر گره مورد استفاده قرار می گیرد. حاصل این الگوریتم ها عموماً مسیری در صفحه یعنی یک مسیر دو بعدی است [۶]. در [۷] برای برنامه ریزی مسیر از این روش استفاده شده است.

از الگوریتم های تکاملی و کاشف<sup>۴</sup> نیز برای طراحی مسیر استفاده شده است [۸-۹]. در [۱۰] از روش محاسبه تکاملی (الگوریتم ژنتیک) برای طراحی مسیر پرنده های بدون سرنوشنی به صورت برخط استفاده شده است. در این روش، کاندیده ای منحصر به فرد نسبت به فضای کاری مورد ارزیابی قرار می گیرند

به طوری که به محاسبه فضای ساختار نیازی نباشد.

در [۱۱]، از یک الگوریتم بهینه سازی توده مورچه ای بهبود یافته برای انجام برنامه ریزی بهینه سراسری مسیر پهپاد در محیط های پیچیده استفاده شده است. این الگوریتم قابلیت پیاده سازی در زمان واقعی را دارد. در این مقاله فرض شده که ارتفاع و سرعت پروازی توسط خلبان خودکار ثابت نگه داشته شده و جهت سرعت باد مشخص است. تهدیدات به صورت سایتها را راداری ساکن و پراکنده در نظر گرفته شده اند و تابع هزینه حداقل سازی آشکار شدگی پرنده برای سایتها را دارد. در این مقاله عوارض زمینی لحاظ نشده اند.

برای پیش بینی مسیر بهینه پروازی، استفاده از الگوریتم های تکاملی ممکن است مناسب نباشد زیرا بهینه نیستند، یعنی اثباتی برای بهینه گی آنها موجود نیست و عموماً جواب نزدیک به بهینه تولید می کنند و اگر پارامترها و توابع این الگوریتم ها که باید توسط کاربر تعیین شوند تغییر کنند، مسیر های متفاوتی از این الگوریتم ها حاصل می شود. حتی با همان پارامترها و توابع اگر جمعیت اولیه مورد استفاده در این الگوریتم ها تغییر کند، باز هم جواب های متفاوتی از آنها به دست

طی سالیان اخیر، مسئله طراحی مسیر به لحاظ کاربردهای متعدد آن در سیستم های هوشمند نقل و انتقال، کاربردهای فضایی، سیستم های هدایت خودگردان<sup>۱</sup> برای پهپادها بسیار مورد توجه قرار گرفته است. ملزمات این مسئله باعث شده که در رده مسائل محاسباتی پیچیده و سخت (NP-Hard) قرار گیرد. این پیچیدگی به بعد فضای مسئله، معیار های بهینگی، تقييد، قوام و غيره بستگی دارد. با مطالعه روش های متعددی که در این حوزه ارائه شده، ملاحظه گردید که در بسیاری از آنها، ساده سازی های زیادی صورت گرفته تا از عهده این مساله برآیند و یا زمان خیلی زیادی را برای حل مسئله اختصاص می دهند.

در بسیاری از مراجع، از روش کنترل بهینه برای مدل سازی و حل مسئله استفاده شده است [۱-۲]. در [۳]، مسئله تعقیب طولی عوارض زمینی (TF<sup>۲</sup>) با استفاده از روش کنترل بهینه کلاسیک، مورد توجه قرار گرفته و در آن معادلات جرم نقطه ای طولی هواپیما مورد استفاده قرار گرفته اند.

روش کنترل بهینه توسط منون در [۴-۵] بسط داده شده است. در این مرجع به موضوع چگونگی مسیر های تولید شده براساس حداقل سازی تابع هزینه با ترکیب خطی از زمان پرواز و تعقیب عوارض زمینی، پرداخته شده است.

با توجه به اینکه معادلات الحاقی این مسئله کاملاً غیر خطی هستند، محاسبه آنها در سیستم های پیچیده بسیار مشکل است. از یک طرف، علاوه بر مشکل هم گرایی الگوریتم های تکرار شونده در این روش ها وابستگی زیاد آنها به حدس اولیه بعضی از پارامتر های بهینه سازی، تحلیل عددی روش های فوق عموماً زمان بر می باشد. از طرف دیگر هیچ تعبیر فیزیکی از این پارامترها وجود ندارد که بر اساس آن بتوان یک حدس اولیه خوب به دست آورد [۱]. ممکن است این روش فوق باعث شده که روش های دیگری نیز برای طراحی مسیر بهینه مورد توجه قرار گیرند که از بین آنها می توان به الگوریتم های ریاضی طراحی مسیر اشاره کرد. الگوریتم های ریاضی طراحی مسیر، یا مبتنی بر گراف هستند یا مبتنی بر شبکه بندی<sup>۳</sup>، که هر یک محسن و معایب مختص به خود را دارا می باشند. روش های مربوط، ابزار استانداردی برای مسئله کوتاه ترین مسیر در اختیار دارند. اما روش های ارائه شده در مقالات، در بردارنده جنبه های دینامیکی

4-Sparse

5-Heuristic

6-Global Optimization

1- Autonomous

2-Terrain Following

3- Grid

جهت اضافشدن الزامات موردنظر در طول مسیر فراهم سازد. این راهبرد باعث می‌شود که سامانه مزبور نیز در سیستم کمک ناوبری پرنده قابل استفاده باشد. با این وسیله، یک مسیر تصحیح شده در اختیار پرنده قرار گرفته و پرنده نیز با به کارگیری سامانه ناوبری اصلاح شده، مبادرت به کاهش خطای ناوبری اینرسی می‌نماید.

لذا در ادامه مقاله، ابتدا مسئله طراحی مسیر به کمک یک شبکه جریان لایه‌ای فرمول بندی می‌شود. سپس الگوریتم پیشنهادی طراحی مسیر به طور مختصر توضیح داده می‌شود. در ادامه نحوه افزودن قیود مختلف به الگوریتم بیان می‌شوند. سپس الزامات و پارامترهای تاثیرگذار سامانه انطباق شرح داده شده و نحوه ورود آنها به الگوریتم ارائه می‌شود. در خاتمه نتایج شبیه‌سازی جهت تایید کارایی الگوریتم نمایش داده می‌شوند.

## ۲- الگوریتم طراحی مسیر مبتنی بر شبکه جریان

این الگوریتم از یک شبکه رقومی از سلول‌های مستطیل شکل با اندازه مساوی به عنوان ورودی الگوریتم استفاده می‌کند که اندازه آن برابر با یک شبکه  $m \times n$  است. سپس براساس گرید DEM<sup>۱</sup>، یک ساختار شبکه جریان ساخته می‌شود. هر نقطه از گرید به عنوان یک گره از شبکه درنظر گرفته می‌شود. چون گرید DEM منظم است، می‌توان گره‌ها را به صورت یک شبکه لایه‌ای دسته‌بندی کرد، پس  $n$  لایه و هر لایه شامل  $m$  گره خواهد بود. هر گره شبکه به صورت  $(x_i, y_i, z_i)$  موقعیت جغرافیایی آن نقطه محاسبه می‌شود. تمام نقاطی که دارای طول برابر هستند یک لایه از شبکه نامیده می‌شوند.

گره‌های واقع در لایه  $z$  توسط کمان‌هایی به تمام گره‌های واقع در لایه  $-1$  متصل می‌شوند. اگر گره  $(X_{i,j}, Y_{i,j}, Z_{i,j})$  در لایه  $z$  و گره  $(X_{i,j-1}, Y_{i,j-1}, Z_{i,j-1})$  در لایه  $-1$  باشد، تابع هزینه  $C_{i,j,k-1}$  برای کمان متصل کننده این دو گره تعریف شده که در واقع، هزینه انتقال یک واحد جریان از گره  $(-1, j, k)$  به گره  $(z, i)$  می‌باشد.

بردار  $C$  را به عنوان متريک هزینه تعریف شده برای کمان‌ها در نظر گرفته و کمان‌هایی که دو لایه متوالی یک شبکه را به هم وصل می‌کنند را یک سطح می‌نامیم. هرگاه  $V$ ، مجموعه همه گره‌های شبکه با اندازه  $m \times n$  و  $A$  مجموعه همه کمان‌های شبکه با اندازه  $V \times 7$  باشند، یک شبکه جریان با گراف جهت دار  $G(V, A, X)$  خواهیم داشت به طوری که  $X$  بردار جریان روی

می‌آید. در حالت ایده‌آل که همه پارامترها، وزن‌های توابع و جمعیت اولیه به بهترین شکل توسط کاربر تعریف شوند، جواب حاصل از این الگوریتم‌ها بیشترین تطبیق را با جواب بهینه خواهد داشت یا احتمالاً جواب بهینه حاصل می‌شود. در این صورت نیز، رسیدن به جواب بهینه، متنضم اجرای زمانبر و طولانی فرآیند جستجو است.

از طرف دیگر، بسیاری از پرنده‌هایی که در ارتفاع پایین و بر فراز عوارض زمینی پرواز می‌کنند نیاز به سامانه کمک ناوبری مانند سامانه انطباق نقشه عوارض زمینی دارند و این سامانه مبتنی بر انطباق متنابع داده‌های حاصل از ناحیه اسکن شده توسط حسگر ارتفاع سنج رادیویی با داده‌های نقشه عددی ناحیه موردنظر موجود در حافظه پرنده می‌باشد و بدین طریق موقعیت پرنده را تصحیح و داده‌های سامانه ناوبری اینرسی را به روزرسانی می‌کند. با توجه به اینکه انطباق داده‌ها در نواحی که از ناهمواری بیشتری برخوردار باشد بهتر انجام می‌گیرد، طراحی مسیری که حداقل استفاده را از میزان ناهمواری‌های زمینی ببرد موفق تر خواهد بود و لذا یکی از مهمترین قیود سامانه‌ای برای داشتن مسیر واقعی در این‌گونه پرنده‌ها، لحاظ نمودن محدوده عددی مورد نیاز ناهمواری و پارامترهای مرتبط با آن در مسئله طراحی مسیر می‌باشد که این مسئله در کارهای انجام شده، دیده نشده است.

در این مقاله با استفاده از ساختار شبکه جریان لایه‌ای که روی داده‌های ديجيتالي عوارض ساخته می‌شود، الگوریتمی ارائه می‌شود که امکان افزودن قیود خاص به آن نیز وجود دارد. از مزایای این الگوریتم که نتایج عددی کاملاً مؤید آنهاست، می‌توان به چهار بعدی بودن مسیر حاصل در مقایسه با روش‌های هندسی، سرعت بالای آن در مقایسه با الگوریتم‌های موجود، عدم نیاز به نرم‌افزار پایه خاص و تعیین جواب دقیق در مقایسه با الگوریتم‌های کاشف نظیر ژنتیک اشاره کرد.

البته با توجه به اینکه مبانی الگوریتم فوق در پژوهش دیگری به صورت مبسوط پرداخته شده [۱۲]، در این مقاله بعد از اشاراتی به روش فوق و بیان مدل مسئله بهینه‌سازی، به بحث مسئله اصلی که تاثیر و احتساب الزامات پارامترهای تاثیرگذار سامانه انطباق عوارض زمینی در طراحی مسیر است پرداخته می‌شود. برای حل این مسئله، راه حل‌های متعددی وجود دارد. ولی در این تحقیق، روش ابتکاری پیشنهاد می‌شود که می‌تواند در فرآیند پیاده‌سازی الگوریتم طراحی مسیر در فضای گسسته به کار گرفته شود به گونه‌ای که مسیر نهايی، شرایط کافی را

$V_n$  باشد و برای هر  $1 \leq t \leq n$  که  $P_{I,t} = \langle V_I, V_{I+1}, \dots, V_t \rangle$  زیرمسیری از گره  $I$  به گره  $t$  باشد. آن گاه  $P_{I,t}$  مسیر بهینه از گره  $I$  به گره  $t$  خواهد بود. با استفاده از لم فوق الذکر، شرایط بهینگی برای مسئله موردنظر به صورت زیر تبیین می‌شود: در هر تکرار الگوریتم، به گره‌های هر لایه از شبکه یک عدد نسبت داده می‌شود که به آن برچسب هزینه<sup>۳</sup> گفته می‌شود. با تشریح شرایط بهینگی، مسئله یافتن مسیر بهینه و مقید به زیرمسئله‌های مطابق لایه‌های شبکه تقسیم شده و الگوریتم موردنظر جهت حل زیرمسئله‌ها و سپس ترکیب آنها، در دو فاز اصلی ارائه می‌گردد. در فاز اول با بهره‌گیری از دیدگاه حریصانه، برچسب‌های هزینه بهینه گرها به صورت متوالی از لایه اول (شامل گره شروع) تا لایه نهایی (شامل گره پایانی) محاسبه شده و در فاز دوم، با بهره‌گیری از دیدگاه بازگشت به عقب<sup>۴</sup>، مسیر بهینه براساس برچسب هزینه گرها استخراج می‌گردد.

### ۳- معادلات حرکت

معادلات حرکت را که در اینجا براساس معادلات عملکردی نقطه‌ای<sup>۵</sup> سه‌بعدی وسیله پرنده در حالت غیرخطی بیان می‌شوند یادآوری می‌کنیم. در حالت کلی، بردار سرعت پرنده نسبت به بدنه توسط زوایای حمله  $\alpha$  و لغزش جانبی  $\beta$  تعریف می‌شود. در حالتی که بردار سرعت در صفحه تقارن (قائم) پرنده قرار گیرد، زاویه لغزش جانبی صفر در نظر گرفته می‌شود که به آن پرواز متقارن می‌گویند. این معادلات به صورت زیر تعریف می‌شوند [۱۴]:

$$mV = T \cdot \cos \alpha - D - m \cdot g \cdot \sin \gamma \quad (5)$$

$$mV \cdot \dot{\gamma} = (T \cdot \sin \alpha + L) \cdot \cos \mu - m \cdot g \cdot \cos \gamma \quad (6)$$

$$mV \cdot \cos \gamma \cdot \dot{\chi} = (T \cdot \sin \alpha + L) \cdot \sin \mu \quad (7)$$

$$\dot{m} = -\frac{T \cdot SFC}{3600 \cdot g} \quad (8)$$

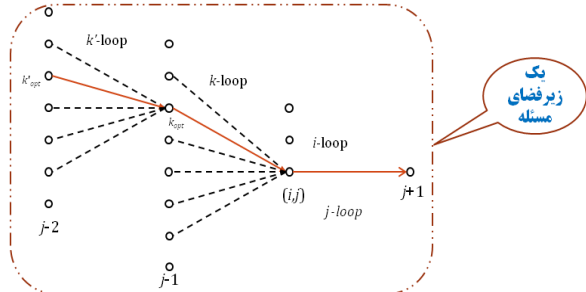
$$\dot{x} = V \cos(\gamma) \cos(\chi) \quad (9)$$

$$\dot{y} = V \cos(\gamma) \sin(\chi) \quad (9)$$

$$\dot{z} = V \sin(\gamma) \quad (9)$$

که در آن،  $\gamma$  معرف زاویه مسیر پرواز یعنی زاویه بین بردار سرعت و صفحه  $x-y$  می‌باشد،  $\chi$  زاویه چرخش (هدينگ) یعنی زاویه بین تصویر بردار سرعت پرنده بر روی صفحه  $x-y$  و محور

کمان‌ها بوده و به صورت تابع  $X:A \rightarrow \mathfrak{N}$  تعریف می‌شود. شکل ۱ نمایش شهودی از یک زیرفضای ایجادشده از شبکه، کمان‌های واصله به گره جاری از گره‌های ماقبل و برچسب اولیه آنها را نشان می‌دهد.



شکل (۱): نمایشی از شبکه جریان لایه‌ای ایجادشده.

مسئله موردنظر را می‌توان به صورت ریاضی زیر فرمول بندی کرد [۱۳]:

$$\begin{aligned} \text{Min } J &= \sum_{\{(i,j) \in V\}} \sum_{\{k \in K\}} C_{(k,j-1),(i,j)} X_{(k,j-1),(i,j)} \\ \text{s.t.} & \left\{ \begin{array}{ll} \sum X_{k,j-1,i,j} - \sum X_{i,j,k-1} = \begin{cases} m \times n - 1 & (i,j) = \text{Start Node} \\ -1 & \text{otherwise} \end{cases} \\ X_{k,j-1,i,j} \in \{0,1\}, \quad \forall [(k,j-1),(i,j)] \in A \end{array} \right. \end{aligned} \quad (1)$$

که در آن،  $J$  معرف هزینه کل مسیرها در شبکه بوده و  $X_{(k,j-1),(i,j)}$  مقدار جریان را نشان می‌دهد که از کمان  $(k,j-1)$ ،  $(i,j)$  عبور می‌کند و به عنوان متغیر تضمیم گیری قلمداد می‌شود. در صورتیکه کمان مذبور روی مسیر بهینه واقع شود خواهیم داشت:  $X_{(k,j-1),(i,j)} = 1$  و در غیر این صورت،  $X_{(k,j-1),(i,j)} = 0$ . اگر هیچ جریانی وجود نداشته باشد که به طور همزمان در هر دو محدودیت فوق صدق کند، شبکه را نشدنی<sup>۶</sup> می‌نامند.

شرایط بهینگی و توسعه الگوریتم شبکه جریان شرایط بهینگی موردنظر، اتکا به این خاصیت می‌کند که هر مسیر بهینه بین دو گره، شامل مسیرهای بهینه در داخلش می‌باشد. به عبارت دیگر، زیرساختار بهینه، که در روش‌های حریصانه<sup>۷</sup> و برنامه‌ریزی پویا به کار گرفته می‌شود، نشانه‌ای از قابلیت اعمال روش مذبور است [۷]. لم بعدی، ویژگی زیرساختار بهینه مسیرهای بهینه را دقیق تر بیان می‌کند. لم ۱: (زیرمسیرهای مسیر بهینه، خود، مسیرهای بهینه هستند): فرض کنید  $P = \langle V_1, V_2, \dots, V_n \rangle$  مسیر بهینه از گره  $V_1$  به گره

3- Cost Label

4- Backtracking

5- Point Performance Equations

1- Infeasible Network Flow

2- Greedy Approach

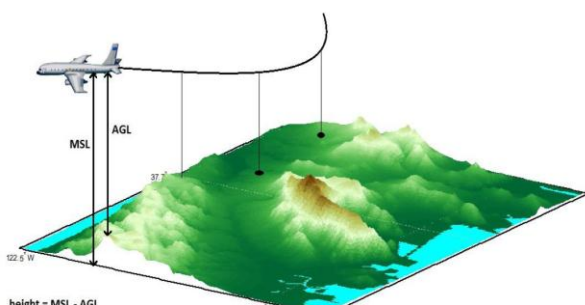
ستنجش عملکرد و بهینه‌سازی مسیر مورد استفاده قرار می‌گیرد. معیاری که در اینجا مدنظر قرار گرفته کوتاه‌ترین مسیر است. این معیار را می‌توان به صورت زیر در نظر گرفت:

$$C(t) = \int \dot{S} dt = \int dS \quad (16)$$

لازم به ذکر است که اگر بخواهیم مسئله فوق را به صورت عددی و مثلاً با استفاده از روش‌های برنامه‌ریزی پویای پیوسته یا کنترل بهینه حل کنیم بایستی چندبار از کل فضای حالت گذر کنیم تا به جواب بهینه برسیم. اما با طرح‌های گسترش‌سازی مناسب فضای جواب، الگوریتم کارآمد شبکه جریان لایه‌ای، با یکبار عبور از فضای جواب، مسیر بهینه را در قالب بهینه‌سازی چندمعیاری می‌یابد.

## ۶- ملاحظات سامانه انطباق عوارض زمینی

الگوریتم سامانه انطباق عوارض زمینی با استفاده از تطبیق داده‌های عوارض زمینی و ارتفاع‌سنج راداری برای یافتن موقعیت دقیق پرنده و درنتیجه به عنوان سامانه کمک ناوبری استفاده می‌گردد (شکل ۲).



شکل (۲): نمایش مفهومی انطباق عوارض برای کاربردهای هوایی.

به عبارت دیگر، فرآیند سامانه مذبور در سه مرحله انجام می‌شود؛ مرحله اول، آماده‌سازی داده‌های عوارض زمینی مبتنی بر نقشه‌های دیجیتالی، تشکیل ماتریس‌های ارتفاع عوارض و ذخیره آنها در حافظه پرنده است. مرحله دوم، اکتساب داده‌ها توسط حسگر ارتفاع‌سنج رادیویی در طول مسیر و مرحله سوم، انطباق داده‌های اکتساب شده با ماتریس مذبور در مناطق موردنظر می‌باشد. شکل ۳، نمایش متداول فرایند مذبور را نشان می‌دهد [۱۵].

$x$  بوده و  $\beta$  معرف زاویه غلت<sup>۱</sup> حول محور خط سراسری می‌باشد،  $L$  و  $D$  به ترتیب نیروهای برآ و پسا،  $T$  و  $SFC$  به ترتیب تراست و مصرف سوخت و پر،  $m$  جرم و  $(x,y,z)$  موقعیت مکانی پرنده می‌باشند.

## ۴- قیود دینامیکی

عملکرد پرنده تحت تاثیر محدودیت‌های عملکردی و آبرودینامیکی است که مانورپذیری آن را تحت تاثیر قرار می‌دهند. برای تضمین راحتی اتوپایلوت پرنده محدودیت‌های بیشتری نیز می‌توانند لحاظ شوند.

نرخ صعود و نرخ گردش به عنوان دو تا از محدودیت‌های عملکردی به صورت زیر مورد استفاده قرار می‌گیرند.

$$ROC_{\max} = V_{ROC-\max} \sin(\gamma_{ROC-\max}) \quad (13)$$

$$\dot{x}_{\max} = 57.3 \times \frac{V}{R_{\min}} \quad (14)$$

که در آن،  $ROC_{\max}$  و  $\dot{x}_{\max}$  به ترتیب حداقل نرخ اوج گیری<sup>۲</sup> و حداقل نرخ گردش را نمایش می‌دهند و  $R_{\min} = \frac{V^2}{g\sqrt{n_{\max}^2 - 1}}$

$g$  شتاب جاذبه و  $n_{\max}$  حداقل ضریب بار پرنده هستند. لذا از بین پارامترهای مذکور، حداقل نرخ اوج گیری، حداقل نرخ گردش و حداقل ضریب بار به عنوان ۳ محدودیت مستقل از پارامترهای عملکردی در نظر گرفته می‌شوند.

از طرف دیگر، زاویه غلت نیز از محدودیت‌های جدی در پرنده‌های BTT<sup>۳</sup> به حساب می‌آید. این محدودیت یکی به خاطر محدودیت در مانورپذیری در کanal عرضی-سمتی و دیگری به دلیل محدودیت در سنسورها و ادوات ناوبری مانند ارتفاع سنج رادیویی است که الزامات سیستمی بر مقدار غلت پرنده حاکم می‌کنند.

همچنین، محدودیت در سرعت پرنده (و یا به عبارتی، میزان تراست موردنیاز) به عنوان ورودی مقید در نظر گرفته می‌شود، چراکه پرنده مجاز نیست هرچقدر که بخواهد سرعت خود را افزایش یا کاهش دهد.

## ۵- تابع هزینه

برای دست‌یابی به مسیرهایی با کیفیت مطلوب، تابع معیار لازم است. در پرنده‌های بدون سرنشین، معیارهای مختلفی برای

1- Bank Angle (Velocity Roll)

2-Rate Of Climb

3-Bank-To-Turn

## ۷- محدودیت حداکثر ارتفاع پروازی

محدودیت حداکثر ارتفاع پروازی، از قیود سامانه‌ای است که در مسئله طراحی مسیر بهینه لحاظ می‌شود. به عبارت دیگر، مسیر بهینه به گونه‌ای مقید می‌شود که تحت هیچ شرایطی، وسیله پرنده بالاتر از ارتفاع مزبور پرواز نکرده و مجبور به استفاده از مانورهای ترکیبی TF و TA برای انجام پرواز خود خواهد شد. دلایلی چون پنهان‌ماندن از دید رادار و پرواز در پوشش عوارض با ارتفاع پایین، محدودیت در عملکرد موتور، برد بعضی از سنسورها یا دوری از ابرهای خطرناک... از دلایل تعریف چنین قیدی به‌شمار می‌رود. لذا جهت نیل به این هدف، محدودیت حداکثر ارتفاع پروازی ( $h_{\max}$ ) در الگوریتم موردنظر منظور می‌شود بدین صورت که ارتفاع پروازی در هر گره جاری ( $j, i$ ) با مقدار حداکثر فوق مقایسه شده و اگر بیش از آن باشد جریان عبوری از آن گره برابر با صفر قرار داده می‌شود. بدین ترتیب مسیر طراحی شده توسط الگوریتم به‌طور خودکار از نقاط مزبور عبور نمی‌کند.

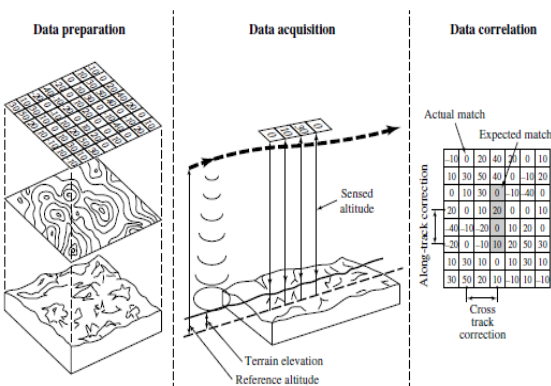
## ۸- پیاده‌سازی الگوریتم و اخذ نتایج

به‌منظور پیاده‌سازی و اخذ نتایج شبیه‌سازی الگوریتم پیشنهادی از محیط نرم‌افزاری MATLAB استفاده شده است. اجرای الگوریتم با ستاریوهای متنوعی براساس انواع مختلف تابع هزینه، قیود و شرایط اولیه متعدد انجام شده و بخشی از نتایج آنها در اینجا آورده شده است.

برای اجرای الگوریتم از یک نقشه DEM نوعی استفاده شده است. شبکه جریان ساخته شده روی نقشه موردنظر، دارای ۲۳۲۰۵۰ گره می‌باشد. مشخصات پیشranش و آیرودینامیک پهپاد موردنظر نیز معلوم می‌باشد.

همچنین به‌منظور بررسی تاثیر اجتناب از مناطق ممنوعه، مدل استوانه‌ای به شعاع ۴۰۰۰ متر در محل موردنظر استفاده شده است (شکل ۴). مسیر بهینه با معیار کوتاه‌ترین مسیر به‌دست آمده که در شکل مزبور قابل نمایش است. دیده می‌شود که مسیر مزبور از نقطه شروع به نرمی از کنار منطقه تهدید عبور نموده و به نقطه هدف رسیده است. طول مسیر ۷۶۹۵۷ متر و زمان پروازی ۳۳۶ ثانیه توسط الگوریتم حاضر با پردازش ۹۰ ثانیه حاصل شده است.

به‌منظور بررسی تاثیر الزامات سامانه انتباط عوارض روی مسیر، شبیه‌سازی با مقادیر جدول ۱ انجام و نتایج آن کسب گردید. شکل ۴ مسیر حاصله را در کنار مسیر نامی (بدون



شکل (۳): نمایش مفهومی انتباط عوارض در سه مرحله.

از عوامل موثر بر انتخاب ناحیه به‌روزرسانی موقعیت توسط این الگوریتم، ناهمواری و یکتاپی عوارض است و لذا کیفیت سیگنال‌های تولیدشده توسط آن مستقیماً با افزایش دامنه، فرکانس و تصادفی بودن عوارض افزایش می‌یابد. به عبارت دیگر، الگوریتم موردنظر روی هر نوع عوارضی کار نمی‌کند. هرچقدر عوارض ناهموارتر باشد، سامانه مزبور بهتر کار می‌کند. اما عوارض خوب باید ویژگی دیگری نیز به جز ناهمواری داشته باشد؛ عوارض باید یکتا باشد (به عبارت دیگر یک پروفایل خارج از نقشه رقومی نباید مشابه هیچ نقشه دیگری باشد).

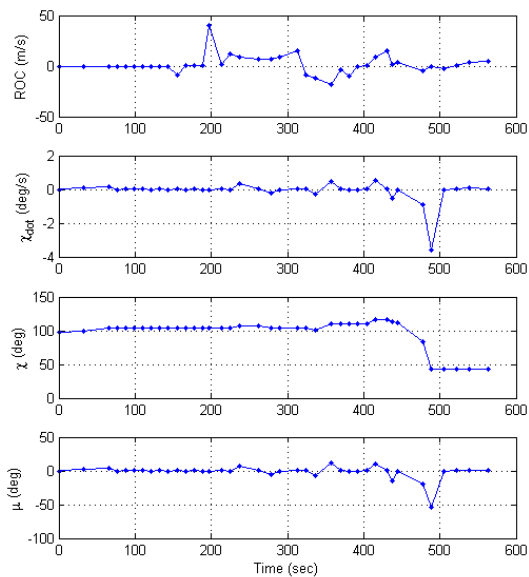
ناهمواری عوارض به صورت انحراف استاندارد نمونه‌های گرادیان ارتفاع عوارض به صورت زیر تعریف می‌شود [۱۶]:

$$(17) \quad \sigma_T = \sqrt{\frac{1}{N} \sum_{i=1}^N \|\nabla h(x_i)\|^2}$$

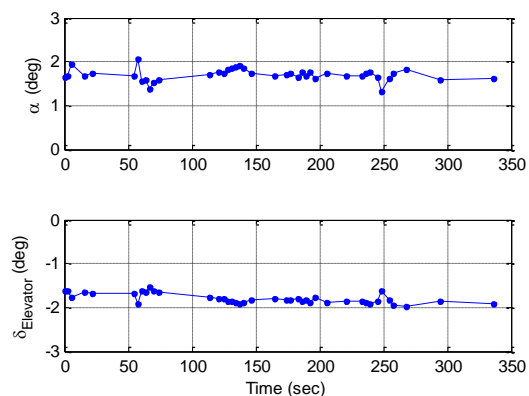
که در آن،  $x_i$  ها موقعیت‌های توزیع شده یکنواخت در ناحیه موردنظر می‌باشند. دیده می‌شود که  $\sigma_T$  معیاری برای میزان تغییر ارتفاع عوارض حول ارتفاع متوسط است. نواحی که در آنها  $\sigma_T$  دارای مقادیر ۵۰ فوت یا بیشتر باشد، عموماً کاندیداهای خوبی برای نواحی تصحیح و انتباط درنظر گرفته می‌شوند. دریاچه‌ها و نواحی هموار یا خیلی مسطح مقدار  $\sigma_T$  خیلی کمی دارند و لذا نواحی تصحیح مناسبی نمی‌باشند.

تمامین محدوده محاز پارامتر تاثیرگذار فوق، تضمین به کار گیری سامانه مزبور می‌باشد و بدین صورت در الگوریتم موردنظر درنظر گرفته می‌شود که ابتدا مقدار پارامترهای مذکور برای هر گره از ابتدا تا انتهای لایه‌های شبکه براساس پروفیل عوارض محاسبه می‌شوند و در صورتی که خارج از حد محاز خود باشند جریان عبوری از آن گره برابر با صفر قرار داده می‌شود. بدین ترتیب مسیر طراحی شده توسط الگوریتم به‌طور خودکار از نقاط مزبور عبور نمی‌کند.

کامل آن در مرجع [۱۷] آمده پیاده‌سازی و نتایج آن با الگوریتم پیشنهادی مقایسه گردیده است. برای این سناریو نیز، یک منطقه DEM با نقاط شروع و پایان مشترک با محدودیت‌های یکسان  $\dot{\chi}_{\max} = 4.5^\circ/\text{sec}$  و سرعت ثابت ( $ROC_{\max} = 30m/\text{sec}$ ) حداقل زمان پروازی درنظر گرفته شد.



شکل(۵): تغییرات زوایای مسیر پروازی، هدینگ، غلت و نرخ اوج گیری در طول مسیر پروازی حاصله.



شکل(۶): تغییرات زاویه حمله و زاویه الیتور پرندۀ در طول مسیر پروازی حاصله.

زمان اجرا برای الگوریتم حاضر حدود ۸۹ ثانیه و برای الگوریتم کاشف، ۱۹۰ ثانیه به دست آمده که نشان می‌دهد سرعت پردازش الگوریتم حاضر، بیش از دو برابر دیگری است. همچنانی، زمان پرواز به دست آمده مسیر حاصله براساس

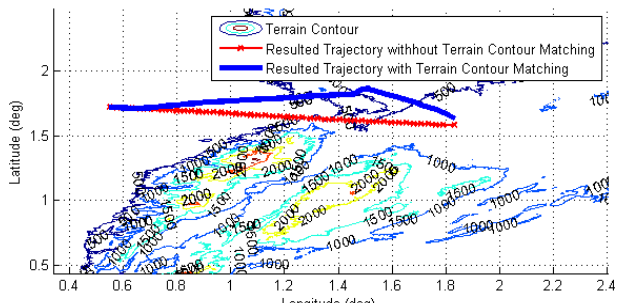
الزامات سامانه مذبور در مجاورت عوارض نشان می‌دهد. مطابق شکل دیده می‌شود که مسیر حاصله، سعی نموده خود را به عوارض زمینی نزدیک‌تر کند تا پارامترهای زبری سطح را در محدوده موردنیاز خود تامین نماید.

جدول (۱): مقادیر کران پارامترهای سامانه انطباق عوارض.

$\sigma_{T \min}$	۱۰
$\sigma_{T \max}$	۱۰۰

شکل ۵ پارامترهای دینامیکی و عملکردی شامل نرخ اوج گیری، زاویه گردش (هدینگ)، سرعت زاویه هدینگ و زاویه غلت وسیله پرنده حاصل از الگوریتم طراحی مسیر را بر حسب زمان و متناسب با نقاط مسیر حاصله نشان می‌دهد. دیده می‌شود که دامنه تغییرات زاویه غلت در محدوده مجاز خود به خوبی قرار گرفته و لذا قیود صفحه عرضی پرنده ارضا شده است. همچنین دامنه تغییرات نرخ اوج گیری و زاویه اوج گیری در محدوده مجاز خود به خوبی قرار گرفته و لذا قیود صفحه قائم پرنده نیز ارضا شده است. زاویه هدینگ نیز رفتاری متناسب با مسیر حرکت به خود اختصاص داده است.

شکل ۶، تغییرات زاویه حمله و زاویه الیتور وسیله پرنده را بر حسب زمان در طول مسیر پروازی نشان می‌دهد. مطابق شکل، تغییرات زاویه حمله تریم در همسایگی  $1/6$  درجه و زاویه الیتور تریم نیز زیر در همسایگی  $1/7$ - درجه (به صورت تقریباً کاهشی و متناسب با کاهش وزن پرنده و تغییر مرکز جرم) به خوبی مشهود است و نشان می‌دهد که شرایط پروازی حالت دائم (تریم) پرنده در کل زمان پرواز حاصل شده است.



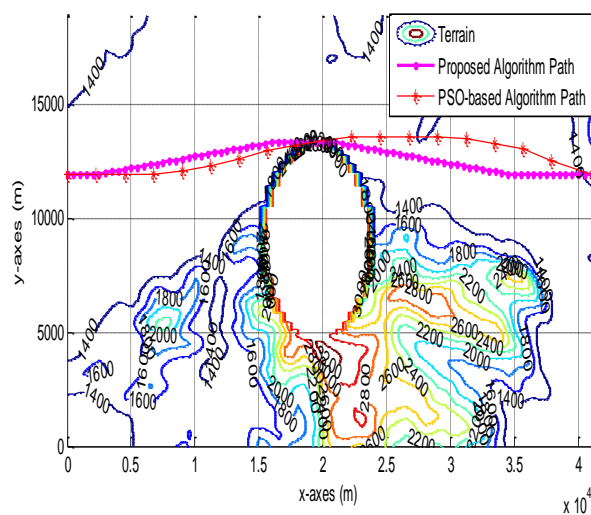
شکل(۴): مقایسه دو مسیر با و بدون درنظر گرفتن پارامترهای تاثیرگذار سامانه انطباق عوارض زمینی.

به منظور اعتبارسنجی روش حاضر، روش کاشف مبتنی بر بهینه‌سازی گروه ذرات دینامیک ترکیبی (DHPSO)<sup>۱</sup> که شرح

## ۱۰- مراجع

1. Vincent T.L. and Grantham W.J. "Nonlinear and Optimal Control Systems", John Wiley and Sons, Inc., 1999.
2. Babaei, A.R. and Karimi J. "Designing Optimal Trajectory in Presence of Terrain and Threat for Unmanned Aerial Vehicles", Aerospace Mechanics Journal, Vol. 7, No. 1, pp. 55-68. 2012 (in Persian).
3. Lu, P. and Pierson, B.L. "Optimal Aircraft Terrain-Following Analysis and Trajectory Generation", Journal of Guidance, Control, and Dynamics, Vol. 18, No. 3, 1995.
4. Menon, P.K.A. and Kim, E. "Optimal Helicopter Trajectory Planning for Terrain Following Flight", Georgia Institute of Technology, School of Aerospace Engineering Atlanta, NASA Contractor Report 177607, 1990.
5. Menon, P.K.A., Kim, E., and Cheng, V.H.L. "Optimal Trajectory Synthesis for Terrain – Following Flight", Journal of Guidance, Control, and Dynamics, Vol. 14, No. 4, pp. 807-813, 1991,
6. Betts J.T. and Huffman W.P. "Path Constrained Trajectory Optimization Using Sparse Sequential Quadratic Programming", Journal of Guidance, Control and Dynamics, Vol. 16, No. 1, pp. 59-68, 1993.
7. Cormen, T., Leiserson, C., Rivest, R.L. and Stein C. "Introduction to Algorithms", McGraw Hill, New York, 2002.
8. Naderi, D. and Azizi, M.R. "Path Planning Optimization of a Spherical Mobile Robot, via Genetic Algorithm", Aerospace Mechanics Journal, Vol. 7, No. 1, pp. 1-13, 2012 (in Persian).
9. Berger, A., Razouk, N. and Angelides, G. "Distance and Curvature Constrained Shortest Paths and an Application in Mission Planning", ACM SE'06, Melbourne, Florida, USA, March 10- 12, 2006.
10. Zheng, C., Li, L., Xu, F., Sun, F. and Ding, M. "Evolutionary Route Planner for Unmanned Air Vehicles", IEEE Transactions on Robotics, Vol. 21, No. 4, 2005.
11. Guanjun, M., Haibin, D., and Senqi, L. "Improved Ant Colony Algorithm for Global Trajectory Planning of UAV Under Complex Environment", International Journal of Computer Science & Application, 2007.
12. Zardashti, R., Nikkhah, A.A, and Yazdanpanah M.J. "Constrained Optimal Terrain Following/Threat Avoidance Trajectory Planning Using Network Flow", The Aeronautical Journal, Vol. 118, No. 1203, 2014.
13. Ahuja, R.K., Magnanti, T.L., and Orlin, J.B. "Network Flows, Theory, Algorithms and Applications", Prentice Hall Englewood Cliffs, Vol. 24, No. 4, pp.133-135, 1993.
14. Miele, A. "Flight Mechanics, Vol. I, Theory of Flight Paths", Addison-Wesley, Reading MA, 1962.

الگوریتم حاضر، ۱۷۸/۸ ثانیه و براساس الگوریتم فوق، ۱۸۲/۵ ثانیه شده که نشان می دهد الگوریتم حاضر، ۳/۷ ثانیه زمان پرواز کمتری را مبتنی بر معیار حداقل زمان پروازی حاصل نموده است. شکل ۷، مسیرهای تولیدشده توسط دو روش مذبور با شرایط اولیه یکسان را نمایش می دهد. لازم به ذکر است که القای محدودیت هایی چون الزامات سامانه انطباق عوارض زمینی نیز در این روش پیچیده بوده و لذا از استفاده آنها اجتناب گردید. از طرف دیگر، بدلیل ماهیت اتفاقی بودن جستجوی جواب در روش مذبور، مسیرهای منتجه به ازای هر اجرا متفاوت بوده و لذا جواب حاصله قطعی نمی باشد.



شکل (۷): مقایسه مسیرهای حاصل از یک روش کاشف (PSO) و الگوریتم حاضر در شرایط یکسان.

## ۹- نتیجه گیری

در این مقاله، مسئله احتساب پارامترهای تاثیرگذار سامانه کمکناوبri انطباق عوارض زمینی در فرآیند طراحی مسیر بهینه و مقید چهار بعدی (سه بعد مکانی و یک بعد زمانی) برای وسایل پرنده بدون سرنوشتین مورد بررسی قرار گرفته و الگوریتم جدیدی برای حل آن ارائه شده است. جنبه های نوآورانه این الگوریتم، تولید جواب بهینه و قطعی در کنار اعمال قیود مختلف، قابلیت پذیرش و اعمال الزامات محدود کننده الگوریتم های کمکناوبri مانند سامانه انطباق عوارض زمینی، سادگی در پیاده سازی و سرعت بالای پردازش آن می باشد. نتایج حاصله و اعتبار سنجی روش پیشنهادی نیز کاملاً مؤید مسائل فوق است.

15. Siouris, G.M. "Missile Guidance and Control Systems", Published by: Springer, 2003.
16. Zipfel, P.H. "Modeling and Simulation of Aerospace Vehicle Dynamics", Published by:AIAA, 2007.
17. Karimi J. "Optimal Maneuver-Based Motion Planning Over Terrain and Threats Using Heuristic Optimization Approach", PhD Thesis, Sharif University of Technology, Tehran, Iran, 2011.